

15(2)

ОТУЕТ
1972

A 1972-1

Академия Наук Литовской ССР
Институт ботаники

"Утвердила"

№ гос. рег. 72008215

Директор Института ботаники
АН Литовской ССР

Инвент. №

к.б.и., с.и.с.

Индекс УДК

К.К. Яникевич

581.522(634.948)

"..."..... Г197...г.

О Т Ч Е Т

по теме

Построение сверхдолгосрочных дендронкал для изучения
изменчивости климатических условий и получение
материалов для астрофизических исследований
радиоуглеродными методами
(заключительный)

Зам. директора по
научной работе
д.б.и., профессор

А. Меркус

Заведующий сектором
к.б.и., с.и.с.

А. Лекамичис

Руководитель темы
и ответственный
исполнитель
к.с/х.и., с.и.с.

Г. Витинчюс
Т. Битинскас

Вильнюс, 1972 г.

СПИСОК ИСПОЛНИТЕЛЕЙ

Т.Т. Битвинкас, с.н.с., к.с/х.у.

(Научный руководитель темы,
написал §§ 1, 2.1, 2.2, 2.6, 3,
4, 5, 6 отчета)

И.И. Карайтис, м.н.с.

(участвовал в сборе науч. иссл.
материалов, писал § 3 отчета)

Е.П. Малецкас, инж.

(сбор. науч. иссл. материалов,
писал §§ 2.4, 2.5 отчета)

К.С. Шумия, с.н.с., к.г.н.

(писал §§ 2.3, 4 отчета)

Р.А. Закарка, инж.

(Сбор. и обр. науч. иссл.
материалов, писал § 2.4 отчета)

РЕФЕРАТ
научно-исследовательской работы
"Построение сверхдолгосрочных дендрошкал для изучения
изменчивости климатических условий и получения
материалов для астрофизических исследований
радиоастрономическими методами"

В отчете изложены материалы изучения возможностей по-
строения сверхдолгосрочных дендрошкал в Южной Прибалтике, свя-
зи радиального прироста сосны обыкновенной с климатическими
факторами: температурой, осадками, солнечной активностью. Ра-
бота выполнена 1971-1972 гг.

Проведен опыт (сбор и частичная обработка материалов) по
построению сверхдолгосрочной дендрошкилы на торфянике "Ужпелюк
Тирялис" Плунгского района Литовской ССР. Начаты работы по соз-
данию комплекса приборов для измерения годичных колец и создана
специальная программа обработки дендрокронологических данных
на ЭВМ. Установлено ряд закономерностей изменчивости радиаль-
ного прироста сосны в зависимости от климатических факторов и
солнечной активности в Северо-западной части Европейской ССР.

По накопленным материалам (785 образца древесины) будет
построена дендрошкала за последние 2000-25000 лет. Отчет содер-
жит страниц машинописи, в том числе рисунков (схем,
графиков). 33 назв. литературы.

СОДЕРЖАНИЕ

стр.

I. Введение (возможности построения сверхдолгосрочных дендрошкал в южной Прибалтике)	5
2. Экспериментальная часть.	
2.1. Цели и задачи работы	9
2.2. Объем научно-исследовательских материалов	9
2.3. Методика обработки древесных образцов. Создание базы научно-исследовательских и деревообрабатывающей аппаратуры	12
2.4. Работы по созданию измерительного прибора годичных колец	14
2.5. Алгоритм для статистической обработки информационного материала в дендрокли- матохронологических исследованиях	16
2.6. Особенности измерения и обработки го- дичных слоев сосны на боротах	24
3. Изменчивость радиального прироста насаждений со- сны и его зависимость от климатических факторов и солнечной активности в северо-западной части СССР	27
4. Дендрохронология на слоббе астрофизических исследований	51
5. Выводы	60
6. Литература	62
7. Приложения	65

I. ВВЕДЕНИЕ

(ВОЗМОЖНОСТИ ПОСТРОЕНИЯ СВЕРХДЛЮГОСРОЧНЫХ ДЕНДРОШКАЛ В КИНОПРИБАЛИКЕ)

В тридцатом - шестидесятом десятилетиях 20-го столетия во многих странах были достигнуты существенные успехи при изучении динамики радиального прироста современных лесов. Можно упомянуть работы Б. Е. Еклунда в Швеции [1, 2], И. Вейтланда [3], Б. Губера [4], И. Яцевич [5], В. Эйбенлиста [6] в ФРГ, Б. Винша в Чехословакии [7], Е. Голмгарда в дании [8, 9], Е. Шульмана [10], Г. Фриттса [11] в США, Г. Гортинского [12], Г. Комина [13], С. Пиятова [14], Т. Битвинскаса [15] в СССР и ряда других.

Принято выделять районы очень благоприятные и неблагоприятные для дендрохронологических исследований. Наличие высоковозрастных деревьев и лимитирование годичного прироста некоторыми климатическими элементами, такими как температура воздуха, осадки, экстремальные значения которых явно ограничивают или увеличивают радиальный прирост деревьев, благоприятствуют для создания высоковозрастных дендрошкал. Примером таких благоприятных условий работы для дендроклиматологов можно назвать Белые горы Штата Аризона с там найденными Э. Шульманом тысячелетними насаждениями сосны осистой [16].

С другой стороны, в странах западной Европы и в зоне тайги и смешанных лесов в СССР радиальный прирост деревьев формируется под влиянием довольно сложного комплекса климатических факторов; высоковозрастные деревья там почти истреб-

лены человеком и стихийными бедствиями. Кроме того из-за сравнительно большой относительной влажности и связанных с ней широко распространенных грибных заболеваний, возраст деревьев сравнительно мал.

Но даже тысяча лет это недостаточный ряд информации, если ставится задача по построенным дендрокалам и выявленным связям климатических факторов с изменчивостью радиального прироста деревьев, предвидеть (прогнозировать) будущие макроклиматические условия среды. Использованная древесина полученная путем археологических и этнографических исследований, как правило, бывает неоднородной по ее происхождению - она формируется на довольно сильно различающихся экологических условиях местопроизрастаний и может быть порублена и привезена из довольно обширных районов страны. А это означает, что большой процент древесины, даже если она и росла в одном периоде времени, может по закономерностям изменений годичных слоев довольно резко различаться и, таким образом, не быть пригодной для перекрестного датирования из-за различных закономерностей изменчивости радиального прироста. Нельзя получить годичные ряды информации об изменчивости годичных колец деревьев которые росли в определенных (узких) условиях среды за несколько тысяч лет - и, конечно, в наилучшем случае - за весь послеледниковый период, в котором существовала древесная растительность (в условиях Литвы).

Работы Б. Губера [17, 18], Б.А. Колчина [19] и других показали, что можно все-таки построить высоковозрастные дендрокалы, если умело применяется перекрестный метод датирования годичных колец при широком использовании этнографически и археологически цепной древесины из старинных зданий и раскопок даже в европейских условиях.

В последнее время, сочетанием изучения годичных колец из современных лесов, древесины из старых зданий и археологических материалов были достигнуты хорошие результаты с дубом, сосной обыкновенной, елью обыкновенной, черной ольхой, но все эти дендрошкины имеют продолжительность не более тысячи лет, а дешифровка климатологических данных по этим шкалам из-за неоднородности условий местопроизрастаний деревьев затруднено.

Возникает вопрос - неужели в условиях средней Европы нельзя найти древесину, с использованием которой можно было бы построить дендрошкины за многие тысячелетия. Некоторые работы Б. Губера [17, 18] и его сотрудников и бельгийского ученого А. Мунаута [20] говорят о принципиальной возможности построения высоковозрастных дендрошкинов из древесины извлеченной из торфяных пластов, насыщенных влагой минеральных отложений, и, наконец, водных бассейнов.

Особенно богатые древесиной являются некоторые залежи торфяников, главным образом переходного и верхового типа.

Известно, что древесная растительность начала формироваться в районе Литовской ССР примерно 10000-12000 тысяч лет назад. Радиоуглеродные даты указывают именно на то [21], что растительные остатки в озерных и торфяных отложениях начали формироваться около 12000 лет назад. Известно также, что анаэробные, кислые условия, особенно хорошо помогающие сохраняться древесине погребенной под мохово-травянистыми остатками мертвого покрова, который позднее медленно разлагаясь превращается в торф, бывают в неосущенных переходного и верхового типа торфяниках. Также можно предполагать, что

особенно пнистые участки торфяных залежей можно найти только на участках, где несмотря на сравнительно обильное питание почвы олиготрофными водами, мезорельеф торфяника позволял сохраняться довольно крупной и высоковозрастной древесной растительности, которой главным представителем на болотах переходного и верхового типа в условиях Прибалтики несомненно является сосна обыкновенная. Обычно такие участки пнистых торфяных залежей бывают на окраинах средних или крупных верховых торфяников со средне- или сильно-разложившимся древесным или древесно-моховой группой торфом, довольно сильно выраженным микрорельефом из сфагновых мхов и резко повышающимся макрорельефом в сторону центра болота. Также особо пнистые торфяные участки часто можно найти в небольших, заросших сосной, лесных болотах. И все-таки нахождение подходящих для дендрохронологического изучения участков торфяников является задачей не из простых: наиболее подходит торфяники с относительно толстой залежью и через весь профиль (глубоко) осушенные и желательно, эксплуатируемые. Но из эксплуатируемых торфяников совсем не-пригодные для наших целей разрабатываемые фрезным способом и наоборот - особенно подходит эксплуатируемые ручным способом торфяные залежи, хотя, как известно, в нашей стране этот способ почти изъят из-за нерациональных затрат и трудной ручной работы.

Одной из основных целей поставленных для дендроклиматохронологической лаборатории Института ботаники АН Литовской ССР является создание сверхдолгосрочных дендрошкал, которые должны быть построенные на основании годичных колец сосен росших на верховых и переходного типа торфяных зале-

9.

жах длиной до 6000-8000 лет [33].

2. ЭКСПЕРИМЕНТАЛЬНАЯ ЧАСТЬ

2.1. Цели и задачи работы

- а) изучение динамики радиального прироста сосны обыкновенной (*Pinus silvestris*), растущей в болотных условиях;
- б) изучение связей радиального прироста сосны обыкновенной с факторами влияющими на ее прирост (климатом, солнечной активностью и пр.);
- в) провести опыт (сбор и обработку дендрохронологических материалов) с целью построения сверхдолгосрочной (тысячелетней) дендрошкалы (таблицы изменчивости ширин годичных слоев) сосны в условиях Литовской ССР;
- г) изучить возможности использования дендрохронологических материалов сосны, полученных из болотных условий среды (торфяных залежей) для астрофизических исследований радиоуглеродными методами.

2.2. Объем научно-исследовательских материалов

Для научно-исследовательских выводов были использованы материалы - данные радиального прироста сосны ^собранные Т. Битинскасом 1959-1962 гг. во время работы его в Лесоустроительной конторе Литовского "Леспроекта" 21 пр. пл. - 721 образцов древесины.

После рекогносцировочных работ проведенных в Немай-

тии был выбран научно-исследовательский объект в Плуингском районе анилине Плателю - торфяное месторождение "Ужпелю Тирялис" находящееся 3 км севернее г. Плателяй и 1 км от оз. Плателяй. Торфяное месторождение осушеннное открытыми сборными канавами и эксплуатируется ручным способом - снимается 1-2-й метр торфяной залежи для нужд сельского хозяйства в целях добычи торфяной подстилки. Общая площадь торфника по данным торфяного фонда 36,7 га. Для дендрохронологических исследований было подобрана южная часть торфяного месторождения. Верхний слой торфа - малоразложившийся фускум торф на глубине 1,5-2,0 м переходящий в сфагново-осоковый торф. На окраинах торфника слой верхового торфа меньший, в контакте с грунтом подстилается довольно значительным пластом ольхового торфа.

Торфник "Ужпелю Тирялис" в южной части имеет глубину до 7-ми метров. Для взятия образцов древесины в торфяной залежи были вырыты два шурфа в глубиной торфяного слоя до 1 м - первый на юго восточной окраине участка торфника (длина 60 м, ширина 1 м), второй на юго западной окраине длиной 127 м и шириной 1 м. В юго восточной части торфника с поверхности второго метра торфяной залежи (снятой во время эксплуатации малоразложившегося торфа) был вырыт шурф шириной 2 м, глубиной до 1 м и длиной 120 м (рис. 2). В этих трех шурфах, а также на поверхности эксплуатированной торфяной залежи, были спилены все оставшиеся пни сосны на площади составляющей 3,27 га (прил. 1, 4). Всего было взято во время экспедиций 1971-1972 годов 785 пней и стволов древесины. Примерно 35 % образцов древесины составляют только спили для дендрохронологического анализа - осталь-

11.

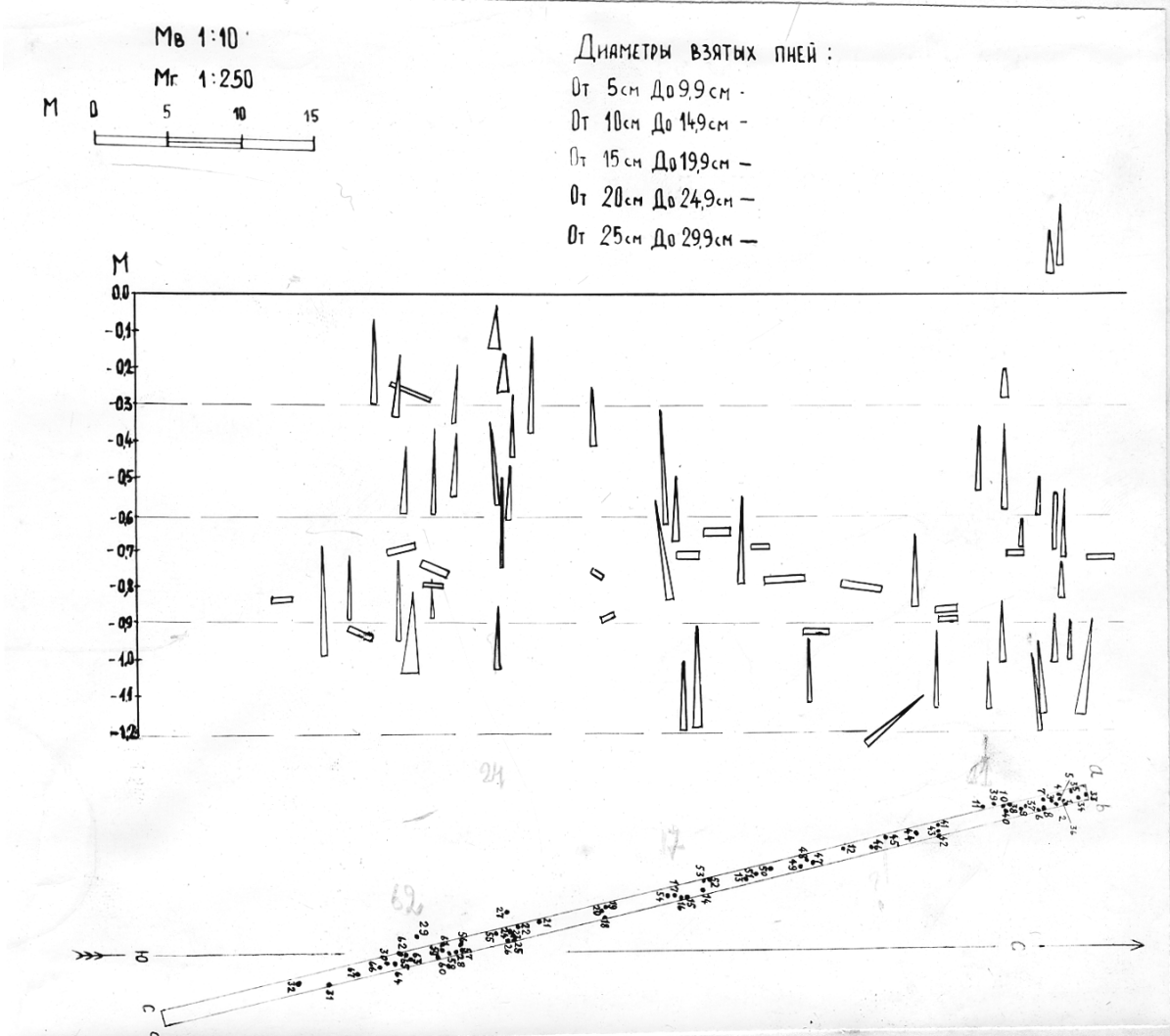


Рис. I. Распределение взятых пней и стволов древесины в торфянике "Ужпеллю Тирялс" в первом метре торфяного слоя (шурф I).

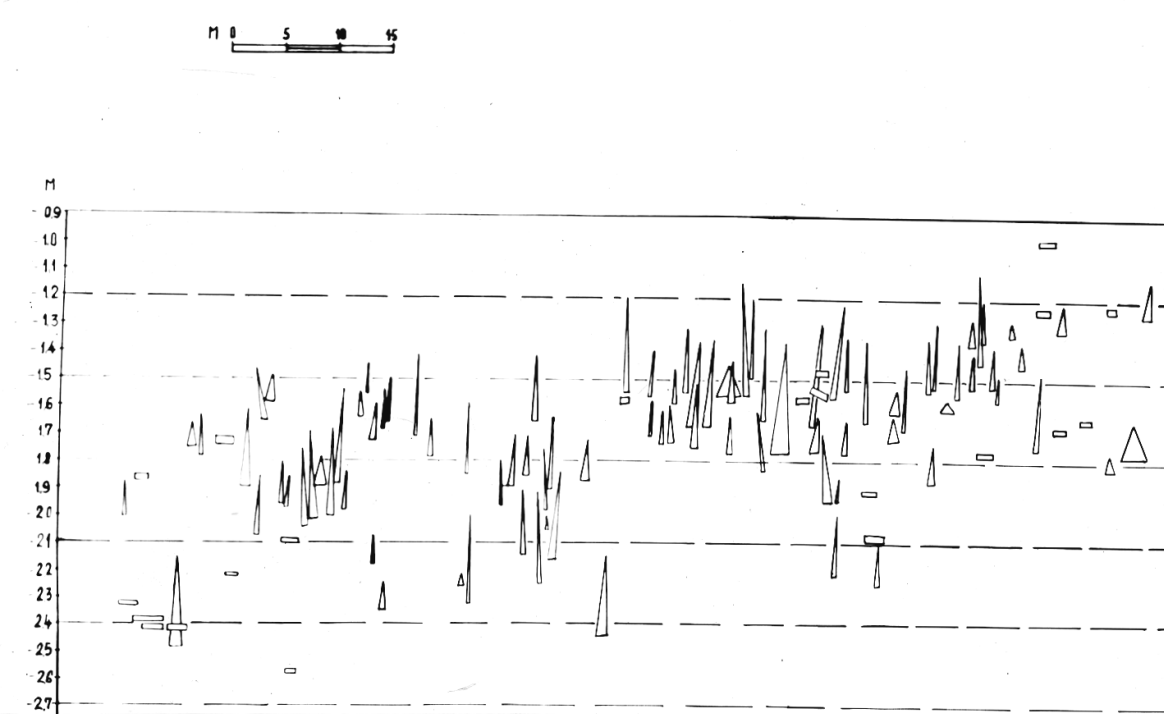


Рис. 2. Распределение взятых пней (стволов древесины) в торфянике "Ужпелкю Тирялис" во втором метре торфяного слоя (шурф 2)

ные образцы имеют достаточный остаток материала для радиоуглеродных исследований. Каждый образец — пень или ствол были привязаны к уровню и к месту с помощью нивелира и бусоли.

2.3. Методика обработки древесных образцов.

Создание базы научно-исследовательской и деревообрабатывающей аппаратуры

Дендрохронологические исследования отличаются большой трудоемкостью. Они требуют определенной квалификации

не только научных сотрудников и инженеров, но и лаборантов, особенной тщательности и научной добросовестности исследователей.

Нужно отметить, что для достижения первого конечного этапа - построения достоверной дендрохронологической дендрошкалы по данным торфяного месторождения необходимо было: получить шлифовальную машину ШЛС-2, для шлифовки силюз древесины; скомплектовать радиоуглеродную лабораторию (только путем многих радиоуглеродных дат можно проверить достоверность построенной дендрошкалы); составить программы для подсчета и верификации дендрохронологических материалов на ЭВМ, что дает возможность сократить колосальное количество работы. Нами подсчитано, что при анализе всех 785 образцов древесины по двум радиусам и отдельному определению ранней и поздней древесины, придется сделать 942.000 измерений! Поэтому возникает и очень серьезный вопрос необходимости построения счетно-измерительных машин годичных слоев древесины. (Попытка Института получить несколько лет подряд заграничную аппаратуру изготавливаемую в Швеции были тщетны).

Канд. геол. наук Кестутис Шулия в течение 1971 года скомплектовал одну радиоуглеродную установку. Но были не преодолены трудности возникшие в связи с получением специальных помещений для радиоуглеродной лаборатории и наши специалисты по радиоуглероду не могут разыскать в необходимой степени радиоуглеродных исследований.

Инженер Малецкас подготовил стандартную программу для использования ЭВМ БЭСМ-4 в радиоуглеродных исследованиях. Также он подготовил проект счетно-измерительной машины годичных слоев, которая, если будет получена все не-

обходимое отечественное оборудование, будет пущена, к сожалению, только 1973 году. Был положительно решен вопрос шлифовки спилов древесины (пущена в работу шлифовальная машина ШЛПС-2). Ниже приводим некоторые данные о проведенной работе по конструированию измерительного прибора годичных колец и составления программы для ЭВМ Б90М-4.

2.4. Работы по созданию измерительного прибора годичных колец

Исследование древесины - трудоемкая работа, требующая многих часов утомительного труда. Особенно трудным является процесс измерения ширины колец годичного прироста. Использование микроскопов МБС-1 и МБС-2 непроизводительно, получаемые результаты измерений - относительные величины. Необходимо механизировать и автоматизировать процесс измерения, устранить недостатки микроскопического измерения.

В Дендроклиматохронологической лаборатории Института ботаники АН Литовской ССР конструируется прибор предназначенный для усовершенствования процесса измерения, предусматривая возможности дальнейшей автоматизации подготовки данных для машинной обработки. В соответствии с техническими и материальными возможностями выбран вариант изготовления прибора и его дальнейшего усовершенствования.

Принципиальная схема прибора представлена на рис. 3.

Прибор конструируется на основании измерительной машины ИЗМ-ГОМ, используя основание, направляющие измерительные - предметные столы, другие подобные приспособления.

Нужные узлы и детали по оригиналам чертежам изготавлива-

ится в механических мастерских ИТПЭ АН Лит. ССР.

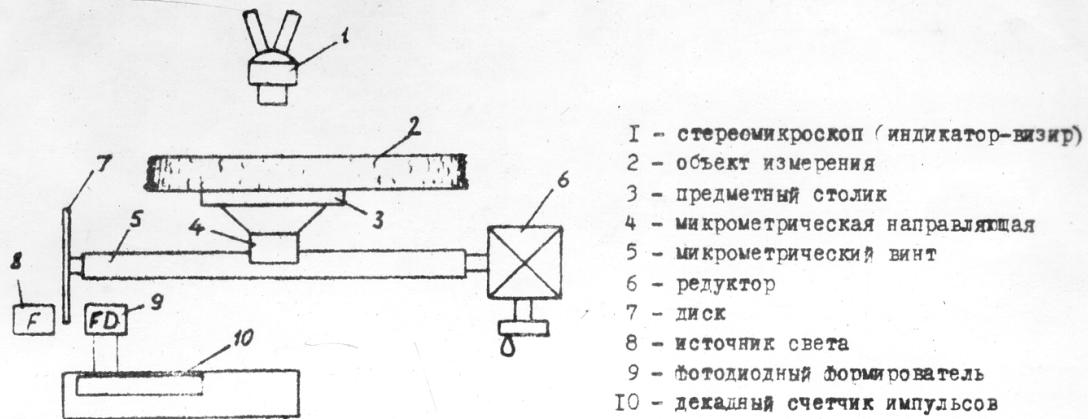


Рис. 3. Принципиальная схема прибора измерения годичных колец древесины

Сдвиг измерительного столика пропорционален числу поворотов (углу поворота) микрометрического винта 5. Используя диск 7, полный оборот поделен на 100 интервалов. Так как шаг микрометрического винта 1 мм, цена деления диска равна 0,01 мм. Таким образом остается сосчитать деления диска. Создана электрическая схема, считающая деления диска как импульсы, формируемые фотодиодным преобразователем. Изготовление декадного счетчика импульсов по разработанной схеме задержано трудностями в доставке необходимых деталей. Другой вариант счетчика импульсов изготавливается в лаборатории Управляющих-вычислительных устройств ИТПЭ АН Лит. ССР.

В электрической схеме прибора предусматривается под-

ключение пишущих машин с последовательным кодом.

2.5. Алгоритм для статистической обработки информационного материала в дендроклиматохронологических исследованиях

В Дендроклиматохронологической лаборатории Института ботаники АН Литовской ССР создается унифицированная программа, предназначенная для вычисления статистических параметров, оценивающих результаты измерений ширины колец. Программа составляется в виде процедур. По мере надобности алгоритм и программу можно улучшать заменой процедур, расширять, вводя новые более эффективные.

Составленный алгоритм включает несколько вычислений: коэффициентов возрастных кривых, координат кривых, диагностического ряда, коэффициентов корреляции и верификации. Макроблоксхема алгоритма представлена на рис. 4.

Рост деревьев - случайный процесс, зависящий от комплекса разнообразных природных условий. Цель исследования - рост дерева преобразить в стационарный процесс, используя метод диференциации индексов. Сущность метода: в зависимости от результатов измерений ширины колец годичного прироста подбирается эмпирическая формула, определяющая влияние возраста на формирование годичного кольца.



Отдельные образцы прироста годичных колец, в зависимости от потенциала в росте, могут существенно различаться

18.

усредненной шириной годичных колец. Ширина кольца изменяется и в зависимости от расстояния от центра. Максимальный прирост достигается к 5-10 годам роста. Затем ширина кольца уменьшается согласно экспоненциальному закону:

$$y = ae^{-bx}, \quad a > 0, \quad b > 0 \quad (1) [22]$$

где y - ожидаемая ширина кольца, x - число лет, считая от года максимального прироста.

Индексы вводятся, как эквивалентные значения экспоненциальных кривых. Кривые формируются соответственно из результатов измерения серии колец определенного образца. Изменение трансформированных серий по существу зависит только от времени.

Уравнение (1) служит моделью, которая аппроксимирует средние изменения в приросте годичных колец. Ширину кольца представим через натуральный логарифм:

$$\ln y = \ln a - bx \quad (2)$$

Введем обозначения:

$$z = \ln y, \quad \alpha = \ln a, \quad \beta = b \quad (3)$$

Коэффициенты α и β вычислим методом наименьших квадратов.

Критерий оптимальности

$$f(\varepsilon) = \sum_{i=1}^n (z_i - \alpha - \beta x_i)^2 \rightarrow \min \quad (4)$$

где z_i - реальная ширина кольца, сформированного в i -том году.

Продифференцировав, получаем:

$$\begin{cases} \frac{\partial f}{\partial \alpha} = -2 \sum_{i=1}^n (z_i - \alpha - \beta x_i) = 0 \\ \frac{\partial f}{\partial \beta} = -2 \sum_{i=1}^n (z_i - \alpha - \beta x_i) x_i = 0 \end{cases} \quad (5)$$

Решаем систему (5):

$$z_0 - \alpha - \beta x_0 = 0 \quad (6)$$

где $x_0 = \sum_{i=1}^n x_i$, (7)

$$z_0 = \sum_{i=1}^n z_i \quad (8)$$

Тогда

$$\beta = \frac{z_0 - \alpha}{x_0} \quad (9)$$

Соответственно решается второе уравнение из системы (5):

$$\sum_{i=1}^n z_i x_i - \alpha \sum_{i=1}^n x_i - \beta \sum_{i=1}^n x_i^2 = 0 \quad (10)$$

$$\alpha = \frac{(zx)_0 - \beta x_1}{x_0}, \quad (11)$$

где $(zx)_0 = \sum_{i=1}^n z_i x_i$, $x_1 = \sum_{i=1}^n x_i^2$ (12)

Метод такой аппроксимации для многолетних серий недостаточно хорош, у кривой (1) нулевая асимптота, а ведь ширина кольца долговечного образца асимптотично приближается к величине больше нуля. По той причине используется уравнение:

$$y = ac^{-bx} + c, \quad a > 0, b > 0, c > 0 \quad (13) [23]$$

Для вычисления параметров формулы можно использовать следующий упрощенный метод.

Параметр c можно приближенно определить соотношением:

$$c = \frac{y_1 y_3 - y_2^2}{y_1 + y_3 - 2y_2} \quad (14)$$

c определяется со значениями функции для значений аргумента, образующих арифметическую прогрессию
 $x_2 - x_1 = x_3 - x_2$

Введем обозначения

$$X = x, \quad Y = \lg(y - c) \quad (15)$$

Это сводит подбираемую формулу к линейной:

$$Y = b \cdot \lg e \cdot X + \lg a \quad (16)$$

$$Y = b_1 \cdot X + b_2 \quad (17)$$

Параметры многочлена (17) вычисляются из системы уравнений:

$$\begin{aligned} b_2 + b_1 \sum_{i=1}^n X_i &= \sum_{i=1}^n Y_i \\ b_2 \sum_{i=1}^n X_i + b_1 \sum_{i=1}^n X_i^2 &= \sum_{i=1}^n Y_i X_i \end{aligned} \quad (18)$$

Тогда параметры формулы (13), оценивая преобразование (15), будут:

$$a = \text{antilog } b_2 \quad (19)$$

$$b = -\frac{b_1}{\lg e} \quad (20)$$

$$c = \frac{y_1 \cdot y_3 - y_2^2}{y_1 + y_3 - 2y_2} \quad (21)$$

Удобный и хороший метод для вычисления параметров формулы (13) изложен также в [23].

На рис. 5 представлена микроблоксхема процедуры для вычисления коэффициентов кривых. Стандартизованный индекс подсчитывается, как соотношение значения реальной кривой и выравненной по эмпирической формуле кривой:

$$I = \frac{z_{ij}}{y_{ij}} \cdot 100 \% \quad (22) [24]$$

На рис. 6 представлен логарифм вычисления значений реальных и стандартизированных кривых. Использованный метод - метод 21-летних скользящих по десятилетиям.

При необходимости выявить катастрофические годы (годы особенно малого прироста) используется процедура, микроблоксхема которой представлена на рис. 7.

Для вычисления корреляционных связей использован простой, но довольно эффективный метод - тендентный метод [25].

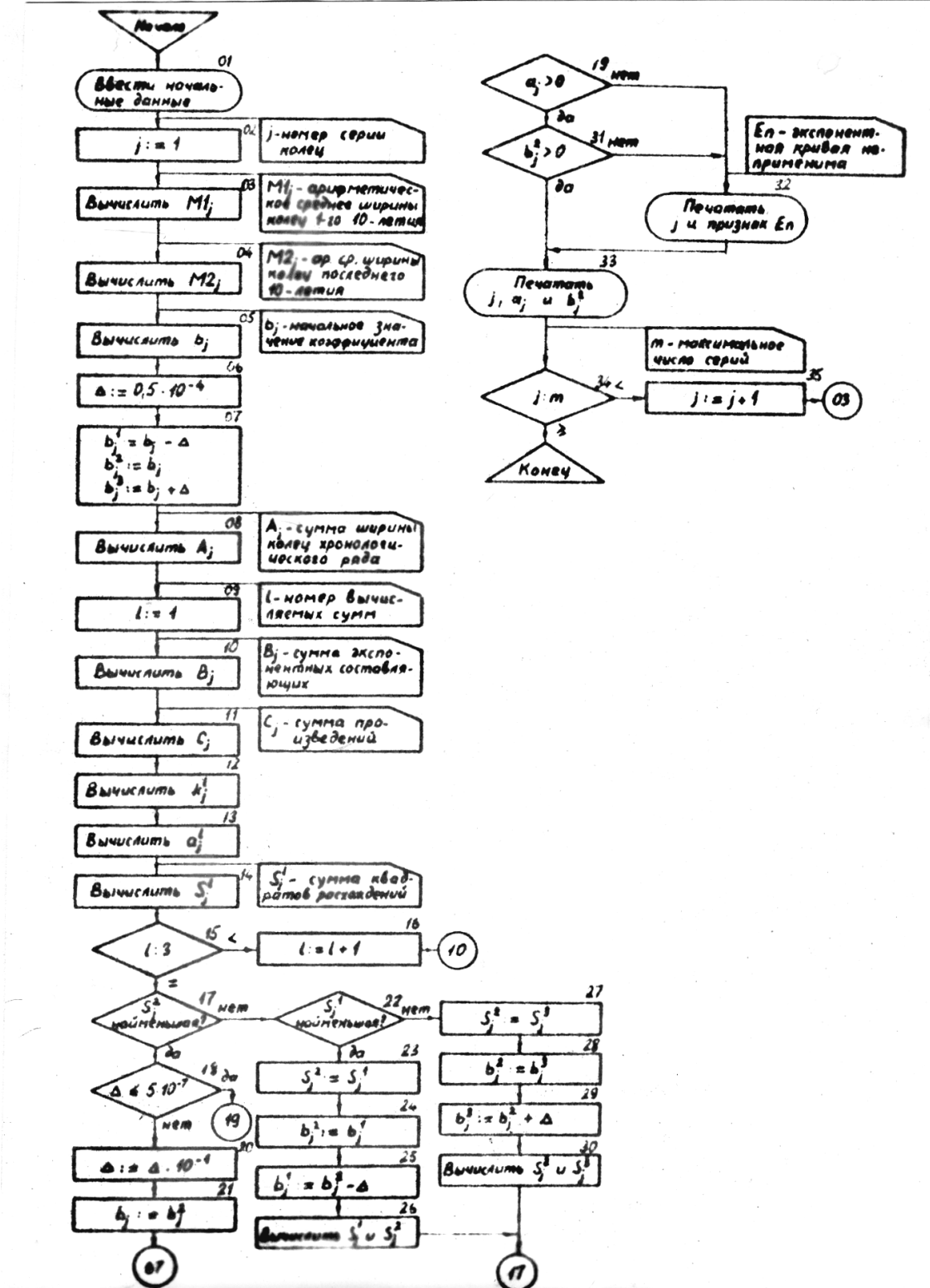


Рис. 5. Микроблоксхема макроблока А.

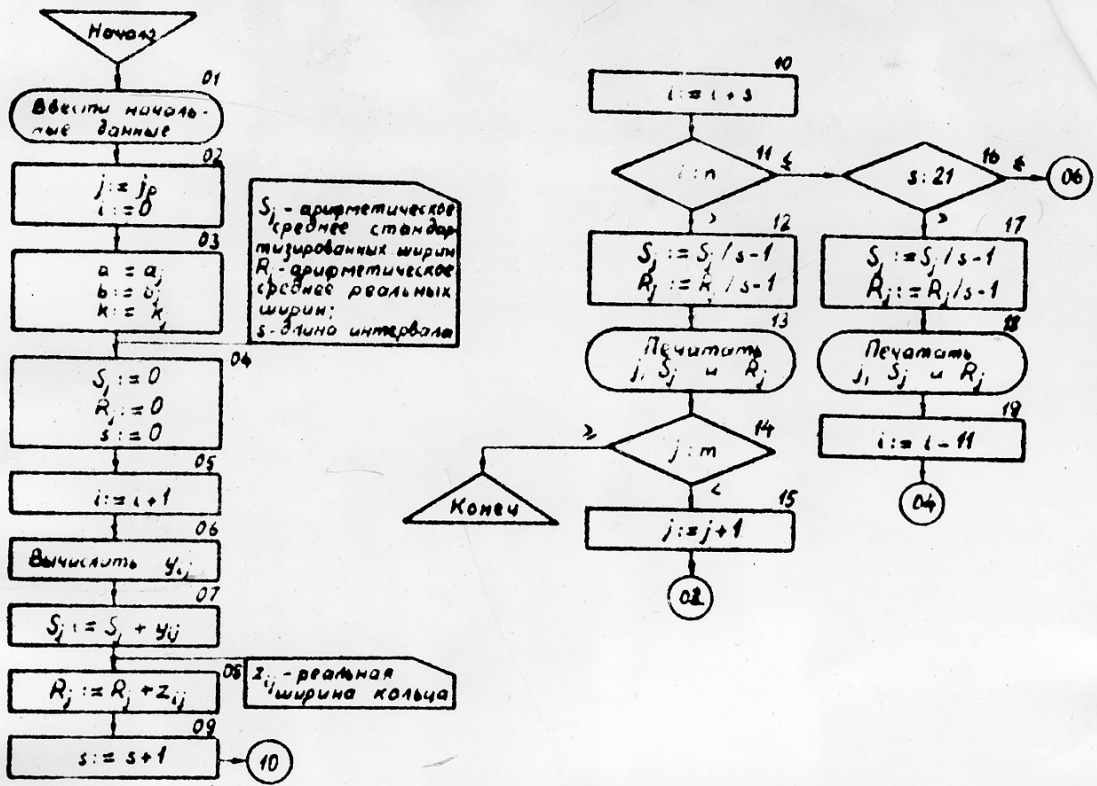


Рис. 6. Микросхема макроблока В

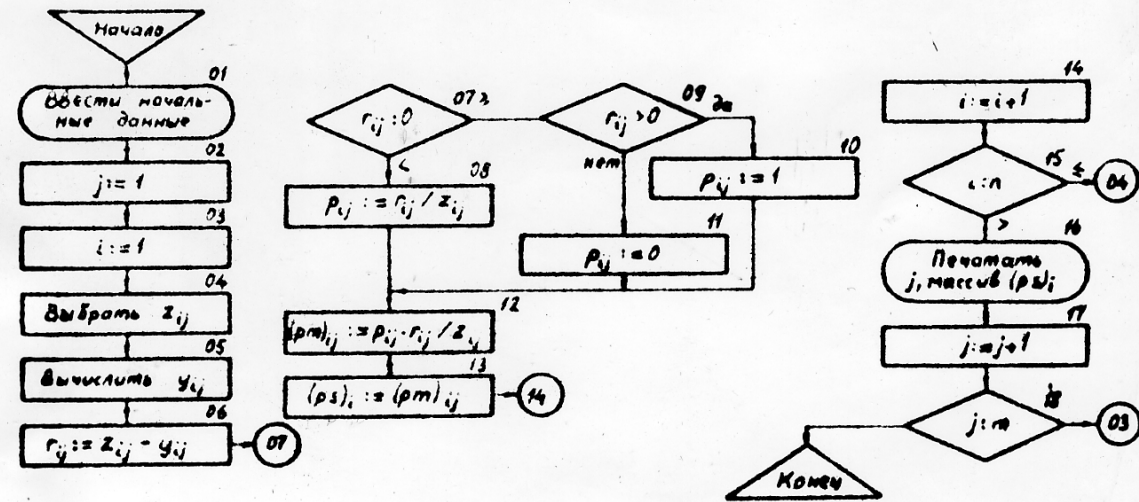


Рис. 7. Микросхема макроблока С

Метод можно использовать как для кривых абсолютных значений, так и для кривых индексов. Используя метод, можно:

1) вычислить критерий оценки корреляции между процессами,

2) вычислить значения, пригодные для сопоставления корреляций между группами процессов.

Вычисления проведенные тендентным методом, дают коэффициент t , оценивающий количества ковариаций переменных. Оценивается число совпадений в направлении изменения и степень соответствия.

Формулы и последовательность вычисления:

$$1) X_i = X_i - X_{i-1} \quad (23a)$$

$$Y_i = Y_i - Y_{i-1} \quad (23b)$$

$$2) +\Sigma = \sum_{i=1}^n X_i Y_i \quad (24)$$

$X_i > 0, Y_i > 0$ или $X_i < 0, Y_i < 0$

$$3) -\Sigma = \sum_{i=1}^n X_i Y_i \quad (25)$$

$X_i < 0, Y_i > 0$ или $X_i > 0, Y_i < 0$

$$4) \pm\Sigma = (+\Sigma) + (-\Sigma) \quad (26)$$

$$5) T\Sigma = |+\Sigma| + |- \Sigma| \quad (27)$$

Соотношение алгебраической суммы и суммы абсолютных величин дает коэффициент t :

$$t = \frac{\pm\Sigma}{T\Sigma} \quad (28)$$

Используется тест, проверяющий возможность влияния больших изменений переменных:

1) $n(+XY)$ – число параллельных частей,

2) $n(-XY)$ – число частей противоположного изменения,

$$3) L_s = \frac{\sum (+XY)}{n(+XY)} \quad (29)$$

23.

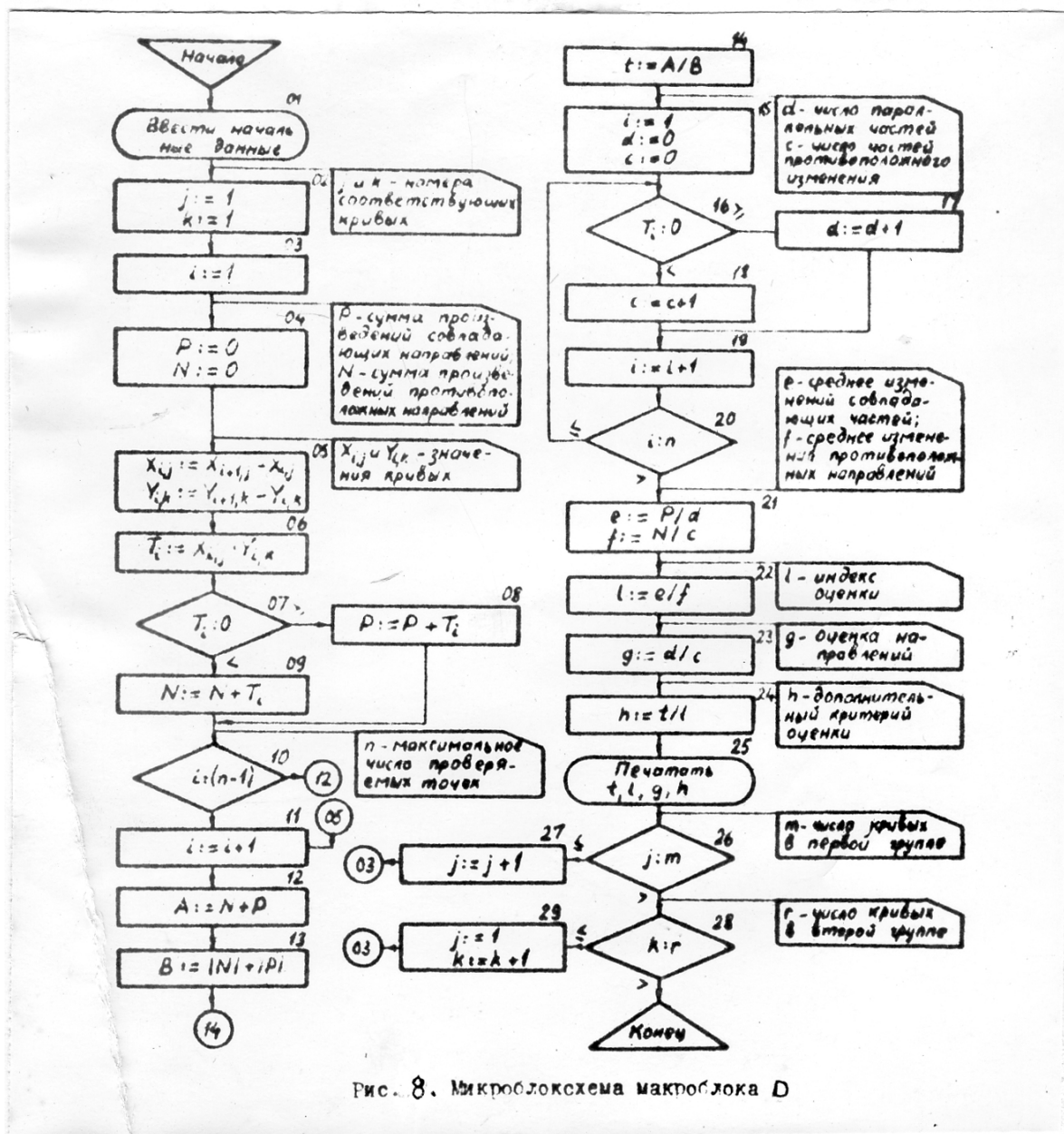


Рис. 8. Микроблоксхема макроблока D

L_s - среднее изменений параллельной тенденции,

$$4) L_p = \frac{\sum (-XY)}{n (-XY)} \quad (30)$$

L_p - среднее изменений противоположных направлений,

$$5) L = \frac{L_s}{L_p} \quad (31)$$

Если $L > 1,00$, то амплитуды параллельных частей больше, чем противоположных частей. Если $L < 1,00$, правильно противоположное, $L \approx 1$ у кривых упорядоченного колебания.

Когда $L \gg 1$ (или $L \ll 1$), а

$$g = \frac{n (+XY)}{n (-XY)} \approx 1 \quad (32)$$

критерий оценки корреляции

$$T = \frac{L}{L} \quad (33)$$

Программа по данному алгоритму написана на языке АЛГОЛ, используется транслятор ТА-ИМ.

2.6. Особенности измерения и обработки годичных слоев сосны на болотах

Пни и ствола древесины, сохранившиеся в торфяных слоях болот "Ужелюк Тирялис" вполне пригодны для дендрохронологического и радиоуглеродного анализа. В торфяном слое от стволов сосен и других видов деревьев, как правило, остается нестгнивший комель (пень) древесины длиной от 10 до 40-45 см часто в конце конусообразно заостренный. В зоне интенсивного прироста торфяной залежи древесина остается совершенно здоровая, даже с остатками коры. В определенных горизонтах находится и многие совсем неразложившиеся стволы сосны, законсервированные в торфе после ветровалов.

Более серьезную, но также разрешимую проблему составляет измерение годичных слоев. Измерение годичных колец проводится с микроскопом МБС-2, с точностью 0,05 мм. Измерения, как правило, проводятся по двум направлениям и рассчитывается средняя ширина годичных колец для данного спила (образца). Данные ширины годичных колец откладываются на графике (миллиметровой бумаге). На вертикальной оси откладывается ширина годичного сольца, а также ширина ранней и поздней (летней) древесины масштабом 1 мм - 10 см, и на горизонтальной - годы (измерения фиксируются и на графиках откладываются с сердцевиной дерева к наружным слоям, с лева, на право). Методика расчета годичных индексов с помощью ЭВМ была описана выше.

Данный отчет проиллюстрирован рядом графиков ширины годичных колец из различной глубины торфяника "Ужнелю Тирялис".

Пни найдены в торфяном слое очень различного диаметра - от 35-40 см до 5-8 см. Большинство же пней бывает диаметра от 10 до 20 см, и, конечно, по росту и развитию они были когда-то деревьями У-Уа, реже ИУ бонитета. Мелкие годичные слои очень хорошо рассматриваются через микроскоп МБС-2, только после шлифовки поверхности спила самой мелкой шлифовальной шкуркой (№ 4-5). Необходимо отметить, эксцентричность годичных слоев в нижних частях комлевых сосен, растущих на болотах. Основная часть корневой системы, у большинства деревьев, бывает с трех сторон ствола и поэтому явно выделяется эксцентричность радиального прироста - в одном или в двух направлениях ширина годичных слоев больше, чем в других сторонах. В большинстве исследованных

спилов, особенно на стороне меньшего роста, отмечены выпадающие или сливающиеся годичные кольца. Поэтому, хотя измерения проводятся выборочно по двум направлениям (сторонам) наиболее широких годичных колец, за основу берется то направление, в котором выпадение годичных колец не отмечается. Число годичных колец на спилах очень различное – от 50 до 250 лет, что вполне достаточно для построения сверхдлинной шкалы путем перекрестного датирования. Довольно представительное распределение образцов древесины и по относительной высоте. Если считать, что на каждом десятисантиметровом горизонте необходимо иметь около 10-ти образцов древесины, то таким требованиям отвечают относительные горизонты от 0,6 до 2,4 м меньшее количество иней найдено только в самых верхних 0-0,6 м и в самых нижних горизонтах 2,4-2,6 м (рис. 9).

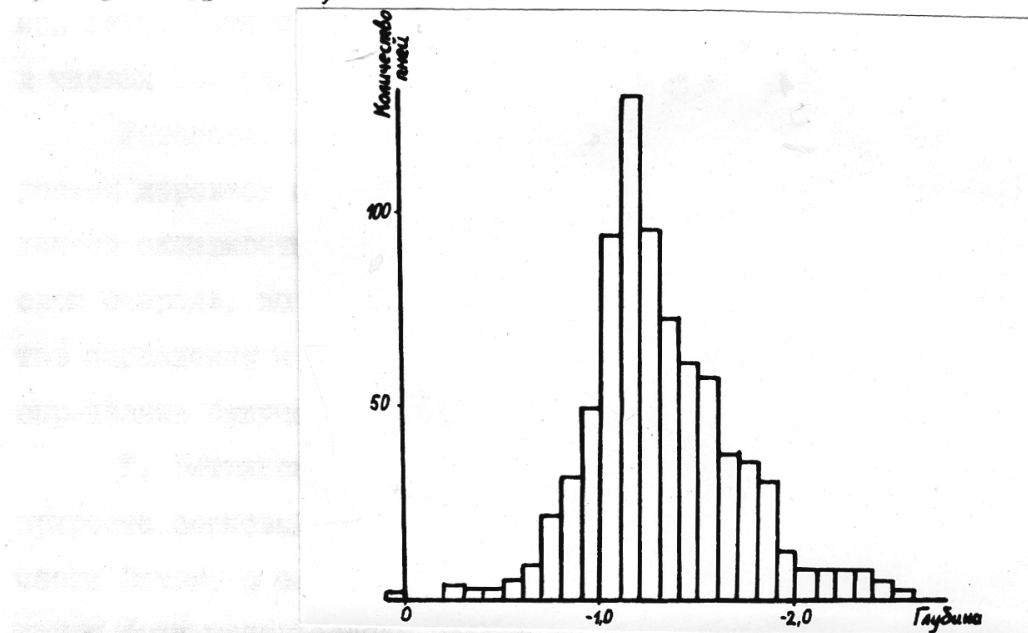


Рис. 9. Распределение количества взятых иней и стволов древесины по относительной высоте на торфянике "Ужелю Тирялис"

3. ИЗМЕНЧИВОСТЬ РАДИАЛЬНОГО ПРИРОСТА НАСАЖДЕНИЙ СОСНЫ И ЕГО ЗАВИСИМОСТЬ ОТ КЛИМАТИЧЕСКИХ ФАКТОРОВ И СОЛНЕЧНОЙ АКТИВНОСТИ В СЕВЕРО-ЗАПАДНОЙ ЧАСТИ СССР

Проблема прогноза климатических изменений, основанных на изучении цикличности прироста деревьев, сводится к решению, по крайней мере, двух основных задач [26]:

- а) разработка прогноза максимумов и минимумов солнечной активности (солнечных пятен);
- б) установление связи между колебаниями климата и числами Вольфа.

В последние годы было выполнено ряд научных работ по многолетнему прогнозированию солнечной активности. При этом определяют, как правило, эпохи минимумов и максимумов солнечной активности и величину активности Солнца в этих эпохах в числах Вольфа.

Установление же связей солнечной активности с приростом деревьев особенно важно в восстановлении истории солнечной активности за несколько последних тысячелетий. В свою очередь, по закономерным изменениям годичных приростов насаждений и прогнозам солнечной активности возможно определять будущие климатические условия.

Т. Битвинскасом [27] проведены исследования связей прироста сосновых насаждений, произрастающих в центральной части Литвы, с солнечной активностью. Для подробного изучения были использованы данные об изменении прироста насаждений сосны в районе Каунаса. Для 400 приростных образцов, взятых возрастным буравом в соснах на свежих, влажных и бо-

лотных местопроизрастаниях, были определены годичные индексы методом скользящих двадцатилетних возрастных кривых по пятилетиям. Исследованиями были охвачены 1848-1958 годы. Этот период включает пять 22-летних циклов. По месячным данным чисел Вольфа были вычислены их значения за гидрологические годы (сентябрь-август месяцы). Полученные характеристики солнечной активности приведены в табл. I.

Основные (II-летние) солнечные ритмы имеют среднюю продолжительность II, I года. Длина циклов довольно сильно меняется от 7,3 до 17, I года. Динамика прироста сосны на почвах нормального увлажнения (B_2) в Каунасских окрестностях за последние 155 лет тоже в среднем характеризуется неизменностью в II, I год. Изменчивость отдельных ритмов от их максимума до максимума прироста составляет 6-15 лет, а от минимума до минимального прироста - 5-24 года. На влажных местопроизрастаниях B_3-C_3 за последние 147 лет продолжительность ритмов сосны составляла в среднем 13,4 года (считая по максимумам прироста), а по минимумам - 10,3 года. Длина ритмов была от 5-ти до 18-ти лет. На болотных почвах продолжительность ритмов радиального прироста сосны за 123 года равнялась в среднем 20,4 года, т. е. она была близка к 22-летним солнечным ритмам. Амплитуда изменчивости укладывалась в 15-31 год.

Т. Витвинскас [27] сопоставил индексы годичного прироста с числами Фольфа (рис. 10). Из рисунка видно, что максимальные величины 22-летних циклов солнечной активности (с) в большинстве случаев совпадают с вторичным максимумом прироста сосны на болотных почвах (б). После максимумов солнечной активности (е) прирост сосны на бо-

Таблица I
Числа Вольфа за период гидрологического года (от 1-го сентября до 31 августа)

Десятина	Годы письменности									
	0	1	2	3	4	5	6	7	8	9
I	2	3	4	5	6	7	8	9	10	II
1750	92,0	61,6	45,2	36,6	14,7	8,0	II,5	22,6	46,4	49,5
1760	63,6	78,8	64,0	49,8	47,1	25,1	13,3	24,4	56,6	88,4
1770	102,0	86,1	77,77	73,3	38,1	8,7	12,4	59,0	149,0	136,2
1780	98,8	77,4	43,6	29,0	10,4	16,0	57,4	117,4	141,2	121,3
1790	103,0	71,2	63,2	52,6	41,2	28,2	23,8	8,2	3,7	7,6
1800	9,6	27,4	43,4	41,0	44,4	49,3	32,8	17,1	6,2	5,8
1810	0,5	0,5	4,4	8,3	14,9	26,6	45,5	45,5	32,4	24,6
1820	21,2	7,8	6,3	0,09	6,1	15,3	27,0	36,4	69,6	63,4
1830	65,0	47,5	34,8	11,5	77,7	32,2	106,0	147,0	114,5	83,0
1840	73,5	45,9	24,8	16,8	13,4	31,0	51,5	73,3	137,2	107,9
1850	74,0	66,1	58,2	45,4	24,2	12,3	3,7	12,1	43,3	84,9
1860	89,6	85,0	65,0	48,9	46,3	36,5	19,9	5,1	22,7	66,4
1870	119,2	127,4	97,5	51,2	23,5	11,3	12,5	5,8	3,7	

30.

ПРИЛОЖЕНИЯ

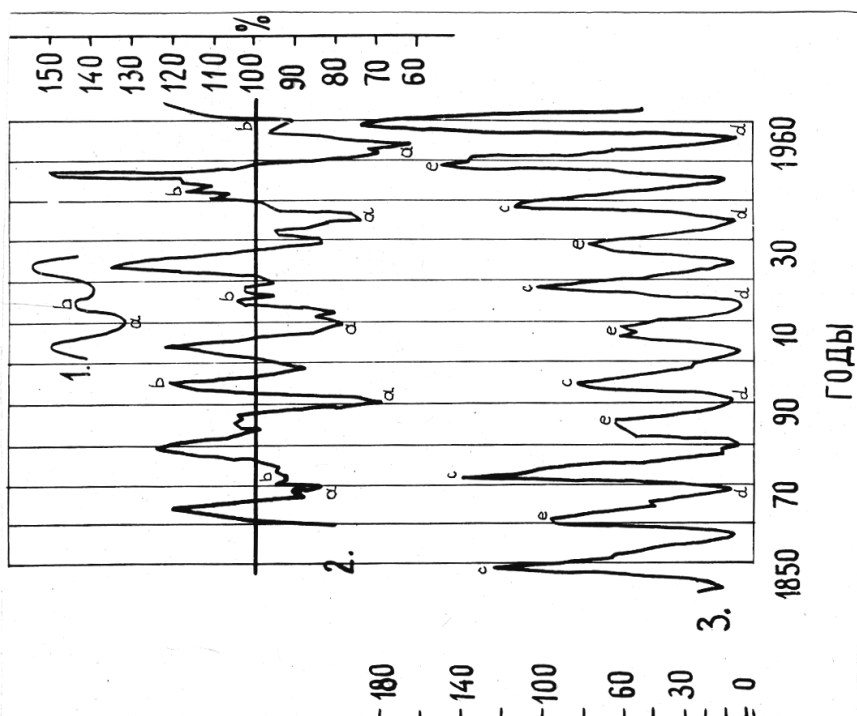


Рис. 10. Ход радиального прироста древесины сосны на болотных почвах и солнечная активность: I - модель 20-летнего цикла годичного прироста в сосновых насаждениях (Северо-восточная Литва); 2 - изменчивость прироста сосновых насаждений в годичных индексах (Швенчи-Нельский лесхоз Лит. ССР); 3 - изменчивость солнечной активности в числах Вольфа за гидрологический год (сентябрь-август).

лотных местопроизрастаниях падает особенно резко и достигает самых низких значений (а) в годы "спокойного Солнца".

Попытка рассмотреть связи вековой солнечной активности с изменчивостью радиального прироста сосны на болотных почвах по четным и нечетным одиннадцатилетним циклам отдельно не дала удовлетворительных результатов (условимся считать началом 22-летних циклов годы максимальных значений нечетных II-летних периодов солнечной активности, тогда четные II-летние периоды попадают в центр 22-летних цик-

лов). В рассматриваемом периоде (1848-1958 гг.) максимальные значения чисел Вольфа по четным циклам, как правило, меньше, чем по нечетным. Восемь условных участков (фаз) солнечной активности в 22-летнем цикле обозначены следующим образом:

a) максимум солнечной активности в нечетном периоде II-летнего цикла;

b) максимум солнечной активности в четном II-летнем периоде солнечной активности;

c) первый минимум солнечной активности (между нечетными и четными максимумами);

d) второй минимум солнечной активности (между четными и нечетными максимумами);

ac и bd - снижающиеся части 22-летнего цикла солнечной активности;

cb и da - повышающиеся части 22-летнего цикла солнечной активности (см. рис. 13).

Во всех случаях в фазы максимальной и минимальной солнечной активности мы выделяли [27] участки по три года, с наибольшими и наименьшими величинами чисел Вольфа. "Спукки" и "подъемы" солнечной активности характеризовались данными за 2-4-7 лет, в зависимости от длины снижения или повышения ветви солнечной активности. Амплитуды прироста насаждений сосны были рассчитаны как разность наибольшего и наименьшего годичного индекса прироста в фазе, суммировались за весь 22-летний цикл, делились на число лет в цикле и в результате определялась средняя годичная изменчивость прироста сосны в индексных процентах во время 22-летних циклов солнечной активности. Полученные данные приведены в

табл. 2.

Данная таблица свидетельствует о том, что между амплитудами колебаний солнечной активности и изменчивостью радиального прироста имеется заметная связь. В табл. 3 мы приводим характеристику этих материалов в процентах. За 100 % приняты средние вековые амплитуды (см. 5-9 периоды).

Оказалось, что связь между средней величиной уровня изменчивости солнечной активности в 22-летних циклах (x) и средними амплитудами индексов прироста сосны в тех же 22-летних циклах (y) хорошо аппроксимируется линейными выражениями. Эта связь представляется семейством следующих уравнений:

1) для сосновок черничных, усл. местороизрастания

B_3-C_3

$$y = 1,43x - 44,6 \quad (r = 0,81 \pm 0,14), \quad (34)$$

где r — коэффициент корреляции;

2) для сосновок брусничных, усл. местопроизрастания

B_2

$$y = 1,03x - 6,7 \quad (r = 0,94 \pm 0,03), \quad (35)$$

3) для сосновок сфагновых, усл. местопроизрастания

A_{4-5}

$$y = 1,26x - 31,6 \quad (r = 0,89 \pm 0,09), \quad (36)$$

4) среднее для совокупности всех сосновок

$$y = 1,15x - 19,4 \quad (r = 0,98 \pm 0,02). \quad (37)$$

В последнее время солнечная активность более или менее надежно прогнозируется на 1-2 цикла, делаются попытки прогнозировать и на несколько одиннадцатилетних циклов. В прогнозах указывается максимальные уровни солнечной активности предполагаемых минимумов. Средний уровень солнечной

Таблица 2

Средние амплитуды колебаний годичных индексов прироста сосны в связи с изменениями
солнечной активности по 22-летним циклам (окрестности г. Каунаса)

Использованный период	Амплитуда солнечной активности в числах Вольфа	Средняя амплитуда колебаний годичных индексов прироста сосны в различных нестопроизрастаниях		
		в светах	во зданиях	в болотах
Годы	число лет	в %		средний
1848-1871	23	112	8,0	5,3
1871-1894	23	86	6,6	4,1
1894-1918	24	76	5,9	2,4
1918-1937	19	89	5,2	6,5
1937-1958	21	149	11,5	7,9
В среднем	22	97	7,4	5,2
				7,1
				6,6

Таблица 3

Средние амплитуды годичных колебаний индексов прироста сои и солнечной активности в % от средних вековых величин (окрестности г. Каунаса)

#	Годы пе- рио- да	Число лет в периоде	Солнечная активность в 22-летних циклах в % от среднего	Уровни	Средние амплитуды колебаний прироста сои в % от стоячего уровня в различных местопроизра- станиях (A)		% от стоячего уровня в разных местопроизра- станиях (A)	Средние амплитуды в болотах в солнечных условиях для					
					A nos	Прог- нос	A nos	Прог- нос	A nos	Прог- нос	A nos	Прог- нос	
1	1761-1779	18	96		5	6	7	8	9	10	11	12	
2	1779-1805	25	89		93	85	85	86	86	86	92	92	
3	1805-1830	25	53		84	74	74	74	74	74	83	83	
4	1830-1848	18	104		44	25	25	25	25	25	40	40	
5	1848-1871	23	112		92	101	101	101	101	101	97	97	
6	1871-1894	23	86		108	102	102	102	102	102	115	115	
7	1894-1918	24	76		89	79	79	79	79	79	82	82	
					80	46	46	46	46	46	58	62	

36.

активности предлагается определять по формуле (38):

$$A_w = \frac{a_1 + b_1 + a_2}{3} - \frac{c_1 + d_1}{2} \quad (38)$$

где a_1, b_1, a_2 — годовые величины чисел Вольфа наивысшей и c_1, d_1 — наименьшей активности Солнца. Таким образом, от величины A_w в уравнениях (34, 35, 36, 37) в линейной зависимости находится годичная изменчивость радиального прироста в 22-летних циклах. Коэффициент величины "x" и свободный член уравнения определяют соотношение между амплитудами изменчивости солнечной активности и амплитудами радиального прироста в этих циклах. Уравнения (34-37) показали сравнительно хорошую связь (коэффициенты корреляции $r = 0,8-0,98$) между изменчивостью солнечной активности и изменчивостью прироста в 22-летних циклах солнечной активности (22-летний цикл приходится на №№ 9 и 4 табл. 3). В табл. 3 также помещается реконструкция (обратный прогноз) изменчивости прироста древесины за время, предшествовавшее 1848 году по установленной линейной связи. Ошибка прогноза по четвертому 22-летнему периоду составляет 4-18 % (табл. 3).

Установленную закономерность для окрестностей Каунаса можно сформулировать так: колебания уровня солнечной активности (в числах Вольфа) и средняя амплитуда колебаний годичных индексов прироста насаждений сосны в 22-летних циклах солнечной активности находятся в тесной линейной связи. Авторами по аналогичной методике были также осреднены данные годичных индексов сосны из различных районов Литовской ССР с целью определения их связи с солнечной активностью за все девять 22-летних цикла (табл. 4).

Оказалось, что и здесь имеется удовлетворительная линейная аппроксимация между колебаниями годичного прироста и солнечной активностью. Наибольшие отклонения от линейной зависимости дала изменчивость прироста в I-ом и 8-ом 22-летних циклах (коэффициент корреляции линейной связи $r = 0,81 \pm \pm 0,05$, уравнение связи выражается формулой $y = 0,87x + 17,84$).

Имеющиеся данные позволили также проследить линейную зависимость между изменчивостью годичных колец деревьев сосны и изменчивостью солнечной активности в Новгородской области и в Карельской АССР (табл. 4), но они менее удовлетворительны, чем в предыдущем случае ($r = 0,69 \pm 0,06$ для Новгородской области; $r = 0,19 \pm 0,03$ для Карельской АССР).

Определенную прогностическую ценность имеет изменчивость радиального прироста в различных фазах солнечной активности. В табл. 5 показаны амплитуды (разности) прироста сосновых насаждений в индексных процентах в различных фазах солнечной активности за 1848–1958 годы (окрестности г. Каунаса).

По данным таблицы, видно, что сравнительно пониженной изменчивостью прироста отличаются участки максимумов солнечной активности а, б, а также участки минимумов солнечной активности с. Все ветви возрастающей и снижающейся солнечной активности (за исключением фазы $d^{\uparrow}a$) отличаются сравнительно большей изменчивостью прироста. Повышенной изменчивостью отличается также фаза d – второй минимум солнечной активности.

Снова возникает вопрос, являются ли эти закономерности изменчивости радиального прироста характерными и для дру-

Таблица 4

Средние амплитуды колебаний годичных индексов прироста сосны на минеральных почвах
нормального увлажнения $A_2-B_2-C_2$ (%) в связи с изменением солнечной активности по
22-летним циклам

F	Годы	Число лет	Амплитуда солнечной активности в не- активном г. Каунаса	Литовская ССР			Новгородская область	Карельская АССР	Средний
				Среди но- жне Литве					
1	1761-1779	18	96	92			66	79	
2	1779-1805	25	89	72			75	73	
3	1805-1830	25	53	80	68		102	84	
4	1830-1848	18	104	105	110	III	93	105	
5	1848-1877	23	112	108	132	96	110	113	
6	1877-1894	23	86	89	96	82	103	94	
7	1894-1918	24	76	80	70	100	92	87	
8	1918-1937	21	70	112	112	126	124	125	
9	1937-1958	21	149	155	128	124	114	125	

40.

Таблица 5

Амплитуда радиального прироста соеви (%) по типам условий испарения в различных фазах солнечной активности 1848-1958 гг. (окрестности г. Каунаса)

Фаза солнечной активности	Свежие	Влажные	Болотные	Среднее
a	16	14	14	15
b	17	9	15	14
c	13	14	11	13
d	27	16	21	21
e, c	21	20	22	24
e, b	14	15	24	21
b, a	20	17	22	20
d, a	16	8	17	14
Средняя по типам шинкеля	19	14	19	18

Таблица 6

Изменчивость реального прироста населения в различных фазах социальной активности

Район и оценка по районам	Фаза социальной активности										Средние за 22-летний
	a	a/c	c	c/b	b	b/d	d	d/a	d	10	
I	2	3	4	5	6	7	8	9			
Средняя земельная гончих индексов в отдельных фазах с. а., %											
Калужские окрестности, Лиг. ССР	16	31	13	14	17	20	27	16	19,3		
Новгородская область	21	29	19	25	19	26	22	27	23,5		
Суоярви, Кар. АССР	17	29	19	23	19	26	20	20	21,2		
Среднее	18	30	16	21	18	24	23	21	21,0		

Продолжение

	1	2	3	4	5	6	7	8	9	10
Средние амплитуды годичных индексов в % от средней изменчивости в 22-летних циклах										
Каунасские окрестности,	-17	+61	-32	-27	-12	+4	+40	-15	0	0
Лит. ССР	-II	+24	-20	+6	-I9	+II	-6	+45	0	0
Нонгороцкий область	-II	+37	-25	+8	-II	+23	-6	-6	0	0
Суорви,	-20	+40	-26	-4	-14	+13	+9	-2	0	0
Кар. АССР	-16	+40	-26	-4	-14	+13	+9	-2	0	0
Среднее										
оценка районов по кагетогории прогностической ценности										
Все районы	I	I	I	III	II	I	III	I	III	III
Отдельные районы	III	III	II	II	III	I	II	II	III	III

гих областей Советского Союза. В табл. 6 рядом с литовскими данными изменчивости годичных колец в отдельных фазах солнечной активности сопоставляются дендрохронологические данные сосны, взятые в Новгородской области и Карельской АССР, на свежих (нормально увлажненных) типах условий мезотопроизрастания. Оказывается, что наибольшей амплитудой изменчивости радиальный прирост сосны отличается в фазах солнечной активности $a \downarrow s$ и $b \downarrow d$, наименьшей — s и a . Такие же самые изменения наблюдаются во всех трех районах проведенных дендроклиматологических исследований. Но в некоторые фазы солнечной активности в данных районах наблюдались и особенности, характерные только одному из этих районов. Например, если в Литве обнаруживается 40 % повышение изменчивости радиального прироста сосновых насаждений в фазе d , то есть во втором минимуме 22-летнего цикла, то в Карелии и в Новгородской области она была на 6 процентов ниже в сравнении с вековым уровнем. Авторами была сделана попытка на основании исследований во всех трех географических районах (Литва, Новгород, Карелия) определить прогностическую ценность каждой фазы солнечной активности. Первой категорией отмечены фазы солнечной активности прогностически наиболее ценные (табл. 6).

В табл. 6 также показаны средние величины амплитуд радиального прироста и их отклонения в процентах от средней изменчивости в 22-летних циклах солнечной активности. Несомненную прогностическую ценность имеет и определение трендов — тенденций изменчивости ширины годичных колец к расширению или наоборот — к сужению. Эти тенденции (степень их преобладания в отдельных фазах солнечной активнос-

ти) выражены процентным соотношением преобладающих тенденций к тенденциям "в меньшинстве".

Как видно по данным табл. 7, на нормально увлажненных почвах только в трех фазах солнечной активности во всех районах исследований синхронно преобладают повышенные тенденции (в фазах а и $b \downarrow d$) и один раз пониженные – $a \downarrow c$. В отдельных фазах наблюдаются преобладание определенных тенденций (снижение или повышение ширины годичных колец сосны) только в некоторых районах исследований. Например, в фазе "с" в условиях Литовской ССР преобладали тенденции снижения на 17 %, в Новгородской области более часты тенденции повышения (на 19 %), в Карельской АССР (Суоярви) положительные тенденции уже преобладают на 226 %.

Обратная картина наблюдается в фазе солнечной активности "а" – в Литве преобладают положительные тенденции изменчивости прироста из года в год (72 %), в Новгородской области они определяются только 18 %, в Карельской АССР тенденции уже сугубо отрицательные и их преобладание оценивается – 18 %.

Своебразная закономерность наблюдается в радиальном приросте сосны на болотных почвах. В Швенчионельских лесах Литовской ССР в шести фазах солнечной активности подряд ($b \downarrow d$, d , $d \uparrow a$, a , $a \downarrow c$, c) преобладают тенденции повышения радиального прироста. Но зато в фазах солнечной активности с \downarrow и \uparrow проявляются резкие тенденции снижения прироста, определяющие 20–22-летнюю ритмичность радиального прироста на болотных почвах Литовской ССР (рис. 10).

В табл. 8 показано распределение годичных индексов в фазах солнечной активности по их величине. В первую группу

Преобладание тенденции появления и изменения (тренда) в радиальном пространстве
населения сосни (%) в различных районах Северо-Запада Европейской территории
СССР в отдельных фазах солнечной активности

Таблица 7

Районы	Фазы солнечной активности										Период (лет)
	a	a/c	c	c/b	b	b/a	a	a/d	d	10	
I	2	3	4	5	6	7	8	9	10		
ЛНР. ССР, Рязанские окрестности, сосняки брусличники	+33	-15	-17	-72	+17	+6	-80	+71	100		
Цвеничелльский, сосняки сфагновые	+600	+72	+67	-200	-75	+20	+50	+50	100		
Новгородская обл., сосняки брусличники	+11	-20	+29	+27	-6	+25	+5	+16	180		

46.

Продолжение

I	2	3	4	5	6	7	8	9	10
Кар. АССР . Суо- ярви, сосняки чернично-брус- ничники , сосни- ки чернично- брусничники									
+11	-13	+226	-56	+33	+100	-85	-185		250
+18	-16	+79	-32	+15	+44	-53	-31		
Среднее									
Число случаев преобладающих тенденций и их направление	+3	-3	+2	-2	+2	+3	-2	+2	

Таблица 8

Распределение величины годичных индексов (%) в различия фазах солнечной активности за 1848-1958 гг. в окрестностях г. Каунаса и за 1749-1968 гг. в районе Суоярви

Фазы солн- еч- ной актив- ности	Условия местопреложения и распределение годичных индексов										Суоярви	
	Окрестности г. Каунаса					Видимые						
	Болотные		Блочные			Нормального узле- ния		>II				
И	< 90	90-II	>II	< 90	90-II	>II	< 90	90-II	>II	< 90	90-II	
I	2	3	4	5	6	7	8	9	10	II	T2	
a	16	56	28	17	67	16	II	67	22	25,4	56,0	
a+b	28	50	22	16	78	6	33	47	20	21,4	56,4	
c	20	33	47	20	60	20	6	67	27	22,0	54,0	
c+d	29	44	57	13	67	20	T3	47	40	32,0	56,0	
b	40	27	33	20	33	47	20	60	20	30,6	51,0	
b+d	50	38	12	6	75	T9	21	65	T4	19,4	48,0	

48.

Продолжение

I	2	3	4	5	6	7	8	9	T0	II	T2	T3
д	60	40	-	40	53	7	40	53	7	21,2	52,4	26,5
д ^а	31	46	23	31	69	-	38	31	31	27,1	57,7	15,3
Среднее	34,2	38,0	27,8	20,4	62,7	16,9	22,7	54,4	22,9	34,9	54,0	21,1

ну отводятся все годичные индексы ниже 90 %, во вторую - от 90 до 110 %, в третью - выше 110 %. По данным этой таблицы видно, что в условиях Литовской ССР (в Каунасских окрестностях) за последнее столетие можно особенно выделить фазу солнечной активности d . Во время этой фазы во всех трех условиях местопроизрастания основные насаждения в 95 случаях из 100 отлагали узкие или средние по ширине годичные слои. В других фазах таких выразительных отклонений от средних многолетних данных незамечено хотя, в фазе b+d на болотных местопроизрастаниях величины годичного прироста сосны очень близки к фазе d . Не случайный характер носит также распределение годичных индексов сосны по их величине в среднем для всех фаз солнечной активности. Из табл. 8 видно, что наибольшее количество годичных индексов сосны средней величины найдено во влажных условиях местопроизрастания - 62,7 %, когда в условиях нормального увлажнения их было 54,4 %, в болотных условиях местопроизрастания - 38 %. Из этих данных можно сделать вывод, что наиболее часто экстремальные влияния среди на годичный радиальный прирост сосны проявляются на болотных, реже - на почвах нормального увлажнения, наименее - на влажных условиях местопроизрастания. Количество годичных индексов сосны средней величины из Суоярвского района (Карелия) очень близки к проценту годичных индексов сосны, росшей в Каунасских окрестностях (54,4%). Но в Карелии зависимость разности распределения величин годичных индексов от отдельных фаз солнечной активности еще менее выразительна. Немного большими отклонениями от средних величин отличаются совокупности годичных индексов в фазах солнечной активности c+b, b и b+d.

Подведем некоторые итоги наших исследований:

1. Зависимость между средними амплитудами солнечной активности и средними амплитудами изменчивости радиального прироста сосны в 22-летних циклах солнечной активности в условиях Литвы хорошо описывается линейным законом и удовлетворительно для северных широт.

Представляет большой интерес дальнейшие исследования этой связи в более южных и восточных районах от Литовской ССР. Эту связь можно надежно проследить только на массовых дендроклиматологических материалах.

2. Амплитуды изменчивости годичного прироста сосны в некоторых фазах солнечной активности также имеют довольно высокую прогностическую ценность во всех трех исследованных районах - в Литовской ССР, в Новгородской области и в Карелии.

Также во всех 8-ми фазах солнечной активности 22-летнего цикла были прослежены тренды. Это позволит, возможно, при дальнейшем накоплении дендрохронологического материала восстановить цикличность солнечной активности за то время, когда наблюдений за солнечной активностью не велось.

При надежных прогнозах на 1-2 22-летние цикла солнечной активности, установленные закономерности могут стать основой для количественного определения вероятности воздействия природных (климатических) факторов на изменчивость радиального прироста насаждений в отдельных фазах и в отдельных циклах солнечной активности для отдельных территориальных районов.

Причинная связь резкой изменчивости годичного радиального прироста сосны в болотных условиях было выражено

нами гидротермическим показателем такого типа:

$$O = \frac{t_o}{0,25 V_o K} \quad (39)$$

где t_o - средняя температура вегетационного года (сентябрь-август), V_o - осадки за вегетационный год.

K - коэффициент запаса влаги рассчитан по формуле:

$$K = \frac{1}{\sum V_3 + \sum V_2 + \sum V_1 + \sum V_0} \quad (40)$$

где V_3, V_2, V_1, V_0 - суммы осадков за 4 вегетационные годы.

Динамика радиального прироста сосны на болотах следует с опозданием на два года, в сравнении с данными комплексного показателя O (O - "oikos" среда).

4. ДЕНДРОХРОНОЛОГИЯ НА СЛУЖБЕ АСТРОФИЗИЧЕСКИХ ИССЛЕДОВАНИЙ

Цели и задачи программ выполняемых дендрохронологических исследований в Институте ботаники АН Литовской ССР по ходоговорам с Физико-техническим Институтом АН СССР им. А.Ф. Иоффе были подробно изложены в отчете под названием "Вариации содержания радиоуглерода в атмосфере Земли и дендрохронологические и дендроклиматологические исследования" в 1970 г. Как составная часть исследования эти входили и в данную работу.

Ходоговора по научно-исследовательским темам "Поиск высоковозрастных деревьев сосны в СССР и изготовление для радиоуглеродных лабораторий в необходимом количестве точно датированной древесины, строганой по отдельным годичным

"кольцам" и "Разработка методики разделения годичных колец ели, лиственницы, тополя, дуба и изготовление датированных годичных колец этих древесных пород, растущих в сходных условиях местопроизрастания, для радиоуглеродных исследований", выполненные за 1971-1972 гг. являются продолжением работ по проблеме "Астрофизические явления и радиоуглерод" (руководитель проблемы д. ф.-м. наук Г. Е. Кочаров), которые выполнялись^в 1968-1970 годах.

В задачу полевых исследований 1971-1972 гг. входило продолжение полевых работ по созданию дендрохронологического профиля Карпаты - Литовская ССР - Мурманская обл. Материалы в Литве, Латвии, Псковской, Новгородской и Ленинградской областях, в южной и средней Карелии были собраны 1968-1969 годах.^в 1971 году были заложены пробные площади со взятием образцов древесины в насаждениях Северной Карелии, в Мурманской обл., а на кгे - в Белорусской ССР и в Карпатах Украины. Всего было заложено и описано 15 пробных площадей, взяты 1133 образцы (цилиндрика) древесины.

Для обеспечивания радиоуглеродных лабораторий СССР, участвующих в проблеме "Астрофизические явления и радиоуглерод" достаточным количеством древесины (сосны) датированной по календарным годам, проверенной соответствующими дендрошкалами, тщательно и чисто разделенной по отдельным годичным кольцам (годам), были изготовлены образцы точно датированной древесины за годы 1530-1563 и 1584-1592 (43 образца). Для получения древесины была использована модель К-1, 1968 г. уже служившая для радиоуглеродных исследований в зоне вспышки сверхновой 1604 г.

До сих пор Дендроклиматохронологическая группа Инсти-

тута ботаники АН Лит. ССР разделяла годичные колыца древесины сосны обыкновенной (*Pinus silvestris*). На этот раз была поставлена задача изучить пригодность и разработать методику разделения древесины (годичных колец древесных пород ели обыкновенной (*Picea excelsa*), лиственницы (*Larix sp.*), тополя (*Populus sp.*) и дуба (*Quercus robur*), чтобы установить насколько одинаково изменяются вариации S_{I4} в годичных колыцах различных древесных пород (не имеют ли они различную избирательную способность в отношении S_{I4}). Для этого зоной разделения был избран одинаковый период времени (1905–1914 гг.), все деревья использованные для разделения росли в сравнительно одинаковых условиях (относительно богатые, нормально увлажненные условия местопроизрастания (B_2)).

Для этой цели были подобраны и спилены модели сосны, ели, дуба, тополя и лиственницы.

После разделки моделей на спилы и последующей сушки, образцы отшлифовались, годичные колыца измерялись. Строились графики серии годичных колец по отдельным радиусам образцов древесины. Производились расчет годичных индексов годичных колец, верификация графиков и датировка. Выделялись зоны строганья. Путем строганья изготовлено точно датированной древесины ели, тополя, сосны, дуба и лиственницы за годы 1905–1914. Всего 50 образцов со средним весом 715 грамм. Образец строганиной точно датированной древесины показан на рис. ~~14~~.

Опыт Дендроклиматохронологической лаборатории показывает, что для получения точно датированной древесины очень пригодна сосна обыкновенная (*Pinus silvestris*). Как показал

опыт разделения нескольких сотен годичных колец очень хорошо раскалывается (строгается) по стыкам соседних годичных колец, четко разделяется на позднюю и раннюю древесину соседних годичных слоев. Хотя производительность колки древесины очень и очень зависит от ширины годичных слоев (годичные кольца уже 0,3-0,4 мм трудно разделимы и сама производительность при строгании узких годичных слоев очень резко падает), производительность колки (строгания) также зависит от толщины древесных спилов. В случаях, когда годичные кольца не уже 1-го мм (раскальвание древесины проводится с помощью долота), оптимальная толщина древесных спилов 8-10 см. Хорошо, как показал наш опыт, колятся и древесина других хвойных, например, ели и лиственница. Там, где нет необходимых возрастов сосен, рекомендуем использовать лиственницу (*Larix sp.*), которая в таежных районах достигает высоких возрастов (до 1000 лет) и по качеству раскальвания мало уступает сосне обыкновенной, но нужно отметить, что можно довольно успешно разделять годичные кольца и лиственных древесных пород. (В нашем опыте были использованы дуб (*Quercus robur L.*) и тополь (*Populus sp.*). Граница ранней и поздней древесины дуба определяется структурными особенностями строения годичного кольца. Ранняя и поздняя древесина дуба остается того же цветного оттенка, да и высушенная древесина колится труднее, чем хвойные, особенно раскопанная из отложений земли или торфа или долго пролежавшая в воде. Можно определять и разделять годичные кольца и тополей, даже и очень четко. Но линия раздела является настолько узкой, что ее определение и четкое раскальвание вместе с трудностями нахождения самых границ годичных колец некомпен-

сируется даже и очень широкими годичными кольцами. Годичные кольца дуба, как показал наш опыт, вполне целесообразно использовать в четко датированных радиоуглеродных исследованиях проведенных по проблеме "Астрофизические явления и радиоуглерод", особенно тогда, когда по различным причинам для характеристики определенных периодов времени не можем использовать древесину хвойных пород.

Резюмируя выше сказанное, можно сделать вывод о том, что для изучения периодов времени, в которых очевидцами были хвойные древесные породы, целесообразно использовать именно эти древесные породы. В Советском Союзе видимо, без особых трудностей погодичная информация по древесине хвойных будет получена за последние 1000-1200 лет. Есть очень серьезные причины надеяться, что стволы дубов, найденные в речном русле и отложениях реки Нерис (Вилия) дают достаточную информацию за второе и третье тысячелетие до наших дней. Так например, радиоуглеродной лабораторией И-та Зоологии и ботаники АН СССР датированные Сморгоньские образцы дуба имеют такие возрасты:

- 1) Та = 160 - 650 лет \pm 60 лет.
- 2) Та = 161 - 1045 лет \pm 60 лет.

Радиоуглеродная лаборатория Геологического И-та Лит. ССР определила возраст одного образца

$$V_s = 53 = 2270 \pm 60 \text{ лет.}$$

По мнению белорусских геологов эта информация может быть продолжительностью до 5000 лет! В Дендроклиматохронологической лаборатории И-та ботаники АН Лит. ССР уже имеется коллекция около 100 образцов сморгоньских дубов и они, конечно, являются ценным источником информации о событиях

в природе проходивших в сотнях и тысячах лет тому назад. Интересно заметить, что во время прочистки реки Припять также в массовом количестве находят стволы исполинных дубов. Из этого можно судить, что "открытие" древнего Сморгоньского леса не является каким то исключением, что, видимо, многие древние русла Европейской части СССР таят в себе массу утопленных деревьев и тем самым, ценнейшую информацию об бывших климатических условиях.

Как выше в отчете было описано, Дендроклиматохронологическая лаборатория⁶ 1971 году начала работу над созданием высоковозрастных дендрошкал по болотной сосне. Какую ценную информацию в себе таит древесина законсервированная в торфяных месторождениях, можно судить уже по следующему примеру: в радиоуглеродной лаборатории Геологического Института АН СССР были определены возрасты двух образцов древесины пней сосны с глубины 1-го метра осущенного торфяника "Тирялис" (Плунгский район, Литовской ССР).

Дата № 490 имеет возраст 880 ± 50 лет;

дата № 491 - 1100 ± 50 лет.

Предполагается, что по дендрохронологическим данным торфяника "Тирялис" удается построить дендрошкулу за 2000-2500 лет. Некоторые работы проведены раньше в других странах (Huber, Munaut) позволяют надеяться, что с образцов древесины методом перекрестного датирования с помощью радиоуглеродного метода не только можно успешно датировать образцы древесины, но также вполне возможно построение абсолютных дендрошкал за несколько последних тысяч лет. Правда, имеется малая вероятность, что за весь период существования торфяника древесная растительность торфяника неподвергалась

бы стихийным бедствиям (ветровалам, пожарам, наводнениям энтомо-фито вредителям, рубкам человека и т. д.) и надеяется сразу получить безпрерывные ряды информации было бы довольно смело. Поэтому заранее приходится настроиться на длительные исследовательские работы, которые придется проводить параллельно или поочередно на 2-4 объектах - торфяниках, с последующей верификацией отдельных дендрошкал между собой. Ценность построения дендрошкал по "болотным" соснам видим в том, что они являются пока единственным достоверным источником информации о событиях в природе проходивших 1-6 тысяч, а то и более, лет, назад в Европе, то есть, на период, о котором пока имеем особенно мало информации.

Ниже в таблице 9 показаны данные об использованных модельных деревьях для получения точно датированных годичных колец дендроклиматохронологической лаборатории И-та ботаники за 1968-1972 гг. в целях проблемы "Астрофизические явления и радиоуглерод".

Кроме этого были изготовлены эталоны древесины дуба из модели Л-6-1970 и сосны из модели Л-2-1968 за 1845-1855 гг. а также изготовлены 32 образца древесины дуба для радиоуглеродного датирования извлеченных из песчано-гравийных отложений реки Нерис (Вилия) около города Сморгонь Белорусской ССР.

По данным таблицы видно, что уже имеется ряд годичных колец за последние 438 лет, что позволяет восстановить ряды радиоуглеродных вариаций в атмосфере Земли не только во время вспышек сверхновых; но также получить информацию о влияния на накопление C_{14} в атмосфере промышленности.

Таблица 9
Шодели деревьев использованные для получения точно датированных годичных колец

Номер	Древесная порода ^х	В каком месте взята	За какие годы датированы	Год разделки годичных колец	Замечание
п/п	Название модельи	Подпись	годичные колца		
1	С Л- 5-1969	Пренайский лесхоз	1968-1899	1970	
2	С Л- 4-1969	"	1899-1845	1970	
3	С Л- 2-1968	Паланга	1844-1777	1969	
4	С Л- 3-1968	Подиранте	1773-1744	1969	
5	С Л- 1-1968	Шарциконис	1743-1713	1972	
6	С Л- 1-1968	"	1712-1688		
7	С Л- 3-1968	Совдозеро	1788-1615	1972	
8	С К- 1-1968	Лахиколамни	1615-1593	1968	

^хС - сосна, Л - луб, Е - ель, Г - гоноль, Йс - лиственица.

^{хх}Буквы означают район взятия образца: Л - Лига, К - Карелия;
Число - количество колец, гол. взятых и колено.

Продолжение

1	2	3	4	5	6
9	С Е- 1-1968	Лахтколонии	1592-1582	1971	
10	С К- 2-1968	Совлозеро	1583-1564	1968	Вспышка сверхновой
11	С Е- 1-1968	Лахтколонии	1563-1520	1971	
12	Д Л-II-1977	Пренайский лесхоз	1914-1905	1971	Падение Тунгусского метеорита
13	Е Л- 8-1970	Каунасский лесхоз	1914-1905	1971	"
14	С Л- 7-1970	"	1914-1905	1971	"
15	Лс Л- 9-1970	"	1914-1905	1971	"
16	Т Л-II-1970	Варенский лесхоз	1914-1905	1971	"

5. ЗАКЛЮЧЕНИЕ

Знание закономерностей динамики прироста сосновых насаждений, их связей с климатическими факторами и солнечной активностью позволит нам расшифровать бывшие климатические условия за большой период времени.

После создания абсолютных дендрошкал построенных отдельно по годичным кольцам формировавшимся на нормально увлажненных местопроизрастаниях и отдельно - на болотных условиях местопроизрастания можно будет получить следующую информацию:

а) о ритмике радиального прироста в прошлых тысячелетиях. Если будет установлено, что ритмы прироста средней длины (II-летние, 22-летние, 88-летние) проявлялись и прошлом, созданные дендрошкилы станут чрезвычайно полезными для прогнозики изменений климатических условий продолжительностью не менее чем 100 лет;

б) должны быть выявлены ритмы более длинные (нескольких столетий, даже тысячелетий) хотя методика их выявления пока остается невыработанной;

в) чрезвычайно перспективным методом остается сочетание дендрохронологических исследований с радиоуглеродными. Особенно важное то обстоятельство, что двумя независимыми методами (дендрохронологическим и радиоуглеродным) можно определить влияние солнечной активности на биосферу Земли.

Дендроклиматохронологическая лаборатория уже 5-ый год активно включалась в решение проблемы "Астрофизические явления и радиоуглерод", дала точно датированные годичные

61.

кольца за последние 438 лет, что позволяет восстановить ряды радиоуглеродных вариаций в атмосфере Земли не только во время взрывов сверхновых, но также получить информацию о влиянии солнечной активности на образование C^{14} , эффекты влияния на накопление C^{14} в атмосфере промышленности и испытаний атомного и водородного оружия.

Накопленные и проанализированные данные из торфяника "Униско Йиряйис" показывают, что дендрохронологические исследования торфяных месторождений является весьма перспективным методом и обязательно должен быть продолжен в Дендроклиматохронологической группе Института ботаники АН Литовской ССР.

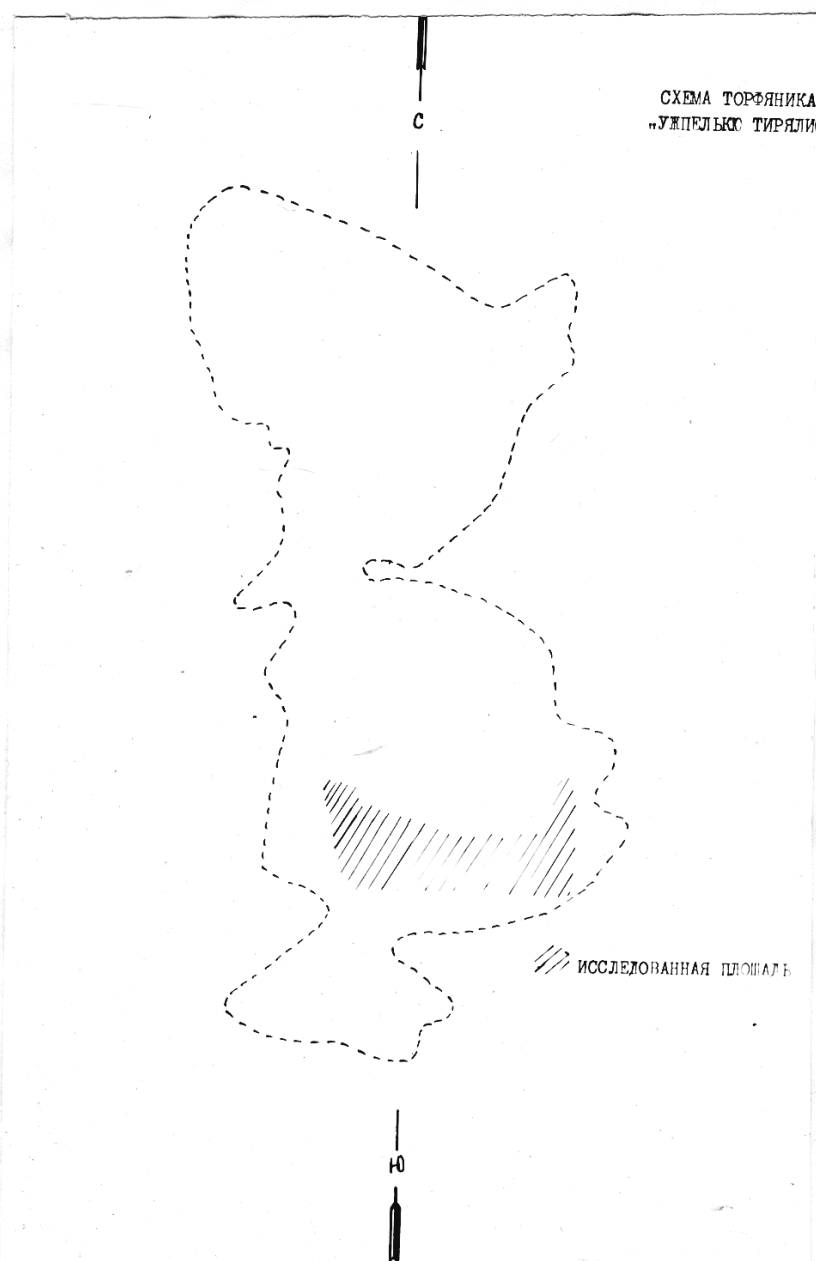
6. ЛИТЕРАТУРА

1. E k l u n d B. Meddelanden från Statens skogsundersökning-institut, 44, № 8, Stockholm, 1955.
2. E k l u n d B. Meddel. från. Stat. Skogsundersökningsinstitut, Stockholm, 47, № 1, 1958.
3. W e i t l a n d J. Jahrringchronologische Untersuchungen an Laubbaumarten Norddeutschlands. Mitt. Bundesforsch.-Anstalt Forst- u. Holzwirtsch. "Reinbek b." Hamburg, № 48, 1960.
4. H u b e r B. Die Naturwissenschaften, 35, 5, 1948.
5. J a z e w i t s c h V. Fortw. Centralbl., Hamburg, 1953.
6. H u b e r B., S i e b e n l i s t V., N i e s s W. Jahrringchronologie Hessischer Eichen, "Büdinger Geschichtshäther", 1965.
7. V i n ř B. Použití letokruhových analýz k prukazu škod. Ustav Vedekotechnichych informaci NZLVH, Ročník 8, (XXXV), "Lesnictví", Číslo 4, 1962.
8. H o l m s g a a r d E. Jahrringsanalysen dánischer Waldbaume, "Det Forstilige forsegsvesen i Danmark", B. 12, 1955.
9. H o l m s g a a r d E. "Hetsantutkimus-laiktoksen julkaisuja", № 5, 1962.
10. S c h u l m a n E. Dendroclimatic Changes in Semiarid America, Tuscon Univ. of Arizona, 1956.
11. F r i t t s H.C. Monthly Weather Rev., 93, 1965.
12. Г.Б. Горгинский Г.Б. В сб.: "Экспериментальное изучение биогеоценозов тайги", "Наука", Л., 1969.
13. К о с т и н Г.Е. В сб.: Материалы всесоюзного совещания - научной конференции по вопросам дендрохронологии и ден-

- дроклиматологии, 1968.
14. Ш и я т о в С.Г. В сб.: "Доклады первой научной конференции молодых специалистов - биологов", Свердловск, 1962.
 15. Б и т в и н с к а с И.И. Доклады ИСХА, вып. 99, М., 1964.
 16. F e r g u s o n C.W. Science, 159, No 17, 1968.
 17. Von H u b e r g B. und M e r z W., München "Germania"
Halbband 1, 1962.
 18. Von H u b e r g B. und M e r z W., München "Germania",
Halbband 1, 1963.
 19. К о л ч и н Б.А. Дендрохронология Восточной Европы. АН
СССР, Ин-т Археологии, изд-во "Наука", М., 1965.
 20. M i n a u t A.V. Etude paleo-ökologique d'un gisement
tourbeux situe a Terneuzen (Pays-Bas) Berichten van de
Rijks dienst voor het Ondheidkundig Bodemonderzoek. J. 17,
1967.
 21. Ш у л и я К.С. Датирование по радиоуглероду голоценаЛит-
вы. Автореферат кандидатской диссертации, М., 1969.
 22. F r i t t s H.C. Computer Programs for Tree-Ring Research.
"Tree-Ring" Bulletin", vol. 25, Arizona, 1963?
 23. F r i t t s H.C., M e s i m a n n J.E. and B o t -
t o r f f Ch.D. A Revised Computer Program for Standardi-
zing Tree-Ring Series. "Tree-Ring Bulletin", vol. 29, Ari-
zona, 1969.
 24. Б и т в и н с к а с И.И. Динамика прироста сосновых на-
саждений Литовской ССР и возможности его прогноза. Авторе-
ферат дисс. на соиск. уч. степени канд. с/х наук, М., 1966.
 25. G l o c k W.S. A Rapid Method of Correlation for Continuous
Time Series. "American Journal of Science", vol. 240, 1942.

26. Геллер Е.Ю. Проблемы физической географии. I. 13, 46-57, И.-Л., 1948.
27. Bitvinskas T.T. "Mūsų gamta", Nr. 3, p. 41-42, 1964.
28. Bitvinskas T.T. "Mūsų girios", Nr. 9(158), 12, 1961.
29. Bitvinskas T.T. "Mūsų gamta", Nr. 3, 41, 1964.
30. Битвинискас І.І. Доклады ІСХА, вып. 103, 385, 1965.
31. Битвинискас І.І. Динамика прироста сосновых насаждений Литовской ССР и возможности его прогноза. Дисс. на соиск. уч. ст. к. с/х наук, М., ІСХА, 1965.
32. Bitvinskas T.T. "Mūsų gamta", № 1, 12, 1967.
33. Битвинискас І.І. Материалы всесоюзного совещания - научной конференции по вопросам дендрохронологии и дендроклиматологии (7-8 июня 1968 г.), Вильнюс, 3, 1968.

65.



Прин. 1. Схема торфяника "Ужпелько Тириалик"

66.

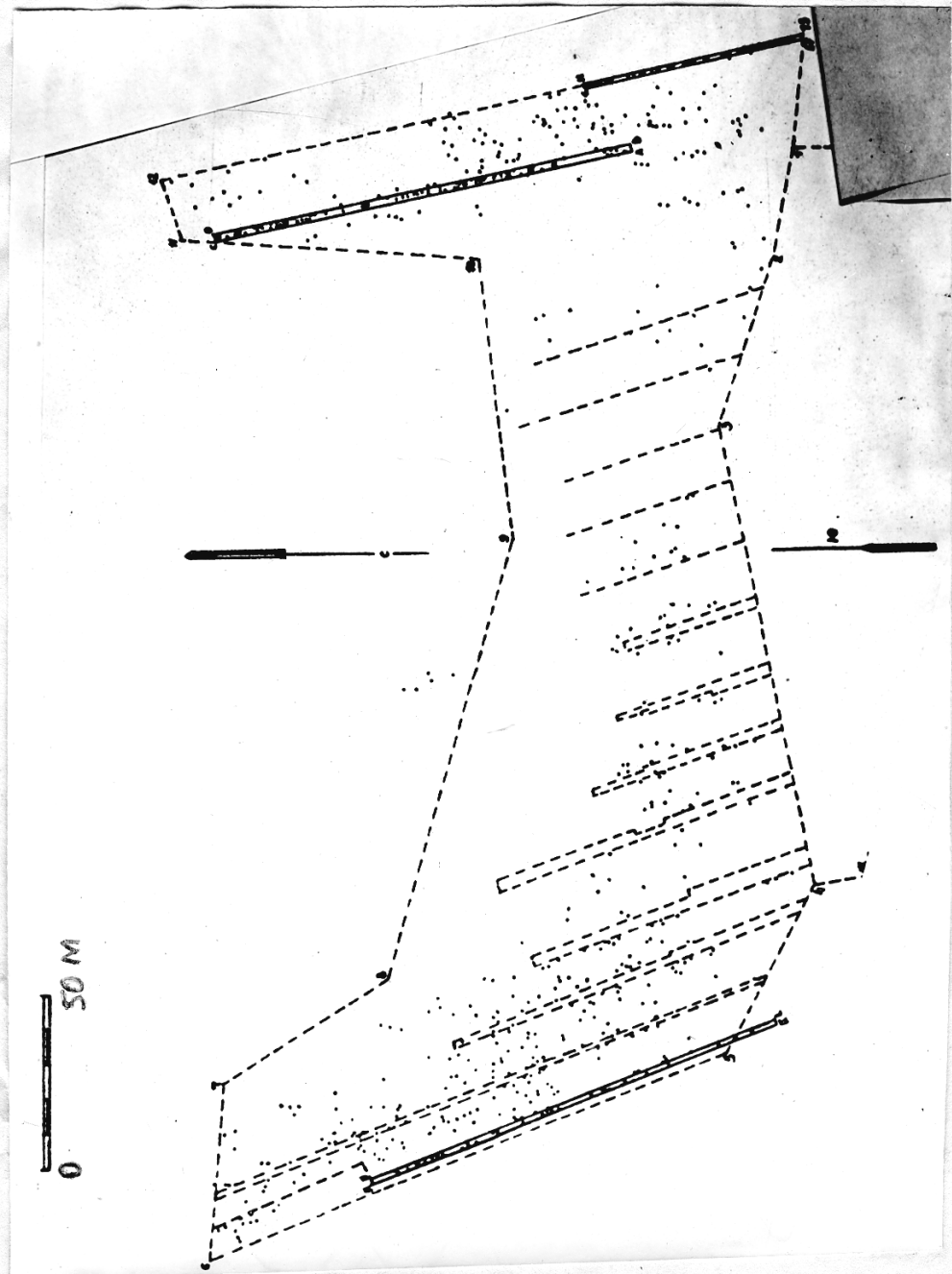


Рис. 2. Распределение склонов по склонам в меженье реки
на склоне "Макаровские Плиты".